

تقييم أداء Hydrus-1D في محاكاة التبخر من سطح التربة لفواصل ترطيب مختلفة

انتصار محمد غزال¹ افتخار عبد الجواد العاني² مزاحم محمود عبد²
¹ استاذ مساعد/ كلية الهندسة/جامعة الموصل
² استاذ مساعد/ المعهد التقني/الموصل

الملخص

تم في هذه الدراسة استخدام نموذج Hydrus-1D لغرض إجراء محاكاة التبخر من سطح التربة لفواصل إرواء مختلفة ولنوعين من الترب للمنطقة الشمالية (رمليه مزيجيه، طينية مزيجيه) وبمدخلات من البيانات المناخية، وبيانات التبخر من الاناء القياسي. اظهرت نتائج الدراسة انه يمكن الاعتماد على بيانات الاناء القياسي للتبخر لإجراء المحاكاة وحساب التبخر من سطح التربة حيث كانت المعايير الاحصائية الادائية (IOA, R²) المحسوبة على اساس بيانات التبخر الانائي الافضل ولجميع فواصل الترطيب المعتقدة (2,4,8,16) يوم بالمقارنة مع قيم تلك المعايير المعتمدة على البيانات المناخية الكاملة ولكل نوعي التربة. كما اظهرت الدراسة ان فواصل الترطيب وتاثيرها على التبخر من سطح التربة ومراحل التبخر توافقت مع نتائج التجارب الحقلية التي تم اجراؤها في هذا المجال.

Evaluating performance of Hydrus-1D model in simulating evaporation from soil surface for different wetting intervals

Entesar M.Ghazal

Eftikhar A. Alani

Muzahim M. Abi

Abstract

In this study, Hydrus-1D model was used to simulate the evaporation from the soil surface for different wetting intervals for northern region(sandy loam and clay loam) using input for climatic data , and data of class A pan evaporation. The results showed that data of pan evaporation class A can be relied on in simulating and calculation of evaporation from the soil surface, where the standards of statistics (IOA, R²) calculated on the basis of evaporation pan class A data are better for the wetting intervals (2, 4, 8, 16) days compared with the values of those standards based on full climate data and both types of soil. The study also showed that the wetting intervals and their impact on evaporation from the soil surface and evaporation stages reasonably agree with the results of field experiments that have been made in this area.

Keywords: Hydrus-1D model, soil surface evaporation wetting intervals

قبل: 17 - 4 - 2014

استلم: 28 - 10 - 2013

المقدمة

يعد الماء عامل رئيسيًا ومهمًا في الزراعة الإروائية، ولكن المصادر المائية محدودة، وأن للوحدة المائية كلفتها الاقتصادية، وعليه فمن الضروري الاستفادة من المياه والعمل على رفع وزيادة كفاءة استخدام المياه والحد من الصناعات. يلعب ماء التربة دوراً مهمًا بعمليات انتقال واستهلاك المياه اللازمة والمرتبطة بنمو وتطور النبات، إن كفاءة استخدام ماء التربة مرتبطة بدرجة كبيرة بمحتوى ماء التربة وقابليتها للاحتفاظ به. إن مفهوم الموازنة المائية في التربة هو الأساس في عملية حساب وتقيير ضائقات الماء في التربة ومن ضمنها التبخر ومن سطح التربة والتسرع خارج المنطقة الجذرية وإن تطبق هذه الموازنة على التربة لابد من اجراء تجارب مختبرية تحتاج الى كلفة عالية وجهد ووقت طويلاً. لذا تم التوجه إلى استخدام النماذج الرياضياتية لمحاكاة مجموعة واسعة من المحددات المتعلقة بالحقل والتي تعتبر أداة مهمة لتحليل وإدارة الري والبزل في الأراضي المروية الجافة وغير الجافة. إن تسرع ماء التربة الى خارج المنطقة الجذرية هو أحد العوامل الأساسية المهمة التي تسبب الضائقات للماء ومغذيات التربة في الأراضي الزراعية. لذلك فإن المعرفة الدقيقة لجريان الماء خلال التربة يعتبر الأساس للإدارة المستديمة لنقص مصادر المياه [1].

يعد التبخر من سطح التربة أحد المكونات الرئيسية لموازنة ماء التربة وتنقسم عملية تجفيف التربة الجرداء بواسطة التبخر إلى مراحلين أو ثلاثة مراحل هي مرحلة المعدل الثابت المرتفع (المرحلة الأولى)، مرحلة المعدل الهابط (المرحلة الثانية) ومرحلة المعدل الواطئ الثابت (المرحلة الثالثة)، وأحياناً يتم التداخل بين المراحلتين الثانية والثالثة. خلال المرحلة الأولى يحدث التبخر من سطح التربة ويتحدد بمتطلبات الجو ومع تقدم التبخر عندما تقل رطوبة التربة، ينخفض معدل التبخر تحت التبخر الكامن وتبدأ عندها المرحلة الثانية ويتحدد التبخر بصفات التربة بشكل رئيسي بالإضافة إلى متطلبات الجو [2].

يعتبر أنموذج 1D-hydrus من النماذج الرياضياتية التي يعتمد الحلول العددية بطريقة العناصر المحددة finite element لحل معادلات ريتشارد لجريان الماء في التربة المشبعة وغير المشبعة وبمدخلات تعتمد على الخصائص الفيزيائية للترابة وقد استخدم بنجاح من قبل عدد من الباحثين لدراسة حركة الماء والأملاح في التربة. إذ قام [3] باستخدام أنموذج hydrus-1D لمحاكاة تغذية الماء الأرضي من مياه الري عن طريق نمذجة المنطقة الجذرية للتربة المستخدمة في زراعة نباتات مختارة (القرع والخس) إذ أظهرت الدراسة توافق جيد بين محاكاة أنموذج 1D-hydrus وبين القياسات الحقلية للرطوبة في منطقة مختارة في إسبانيا .

قام [4] بدراسة موازنة ماء التربة باستخدام الأنماذج 1D-hydrus حيث تم اختبار الأنماذج بمقارنة نتائج المحاكاة مع بيانات مقاساته يومياً لمعدل التبخر نتج الحقيقي، وخزن ماء التربة، وتغذية الماء الأرضي، والصعود الشعري وذلك باستخدام 12 ليميتر وثلاثة أنواع من التربة وللفترة من كانون الثاني 1996 إلى كانون الأول 1998 في برلين، ألمانيا. تم تطبيق أنموذج 1D-hydrus بدون معايرة ثم إعادة تطبيقه بمعايير صفات التربة الهيدروليكيّة باستعمال حالات تسرع عميق مختلفة وقد تم التوصل إلى توافق مقبول بين قيم المحاكاة والقيم المقاسة حقاً، ولكن في بعض الحالات، من الأفضل إدخال معاملات النبات في الاعتبار للحصول على نتائج أفضل.

الهدف من هذه الدراسة هو تقييم أداء هذا النموذج في محاكاة التبخر من سطح التربة ولفوائل ترتيب مختلفتين ولتربيتين مختلفتين (رمليّة مزيجية، طينيّة مزيجية) من الأنواع السائدة في المنطقة الشمالية والأكثر استخداماً لحالات الري بالرش.

الأساس النظري

Hydrus-1D هو أنموذج حاسوبي احادي بعد لمحاكاة حركة الماء والأملاح وانتقال الحرارة في الوسط المسامي المشبّع أو المشبّع جزئياً وغير المشبّع. يتم من خلاله حل معادلة ريتشارد باستعمال نمط العناصر المحددة الخطية. حيث تعتبر معادلة ريتشارد من أكثر المعادلات فيزيائية الأساس قبولاً في مجال البحث العلمي لمحاكاة الجريان المشبّع وغير المشبّع في الوسط المسامي [5]، وقد اعتمد البحث الحالي على هذه المعادلة.

$$\frac{\partial \Theta}{\partial t} = \frac{\partial}{\partial z} \left[(k(h)) \left(\frac{\partial h}{\partial z} + 1 \right) \right] - S \quad \dots \dots \dots (1)$$

حيث أن

$\Theta =$ الرطوبة الحجمية للتربة ($\text{مل}^3 / \text{مل}^3$). $Z =$ الاتجاه العمودي.

$K(h) =$ التوصيل الهيدروليكي للتربة غير المشبّعة ($\text{مل}/\text{يوم}$).

$h =$ الشد الرطوي في التربة (مل). $S =$ سحب جذور النباتات للماء (يوم^{-1}) ، $t =$ يوم.

ونظراً لكون الدراسة الحالية قد تمت على أنواع من التربة خالية من الغطاء النباتي فيمكن اعتبار ($S =$ صفر) وبذلك تم تكيف صيغة معادلة ريتشارد كما يلي :

$$\frac{\partial \boldsymbol{\theta}}{\partial \mathbf{t}} = \frac{\partial}{\partial z} \left[(\mathbf{k}(\mathbf{h})) \left(\frac{\partial \mathbf{h}}{\partial z} + \mathbf{1} \right) \right] \quad \dots \dots \dots \quad (2)$$

المعادلة (2) تصف الصفات الهيدروليكيّة للتربة غير المشبعة ($K(h)$)، $\theta(h)$) تعبرات غير خطية للرطوبة والتوصيل الهيدروليكي للتربة غير المشبعة كدالة لشحنة الضغط (h) ويوفّر أنموذج Hydrus-1D إمكانية استخدام نماذج تحليّة لوصف هذه الصفات للتربة. وقد تم وصف الصفات الهيدروليكيّة للتربة حسب أنموذج van Genuchten-Mualem، وكما يلي:

$$\theta(h) = \begin{cases} \theta r + \frac{1}{[1 + |\alpha h|^n]^m} & h < 0 \end{cases} \dots \quad (3)$$

$$K(h) = K_S * S_e^I * \left[1 - \left(1 - S_e^{1/m} \right)^m \right]^2 \quad \dots \dots \dots (4)$$

$$S_e = \frac{\theta - \theta_r}{\theta_s - \theta_r} \quad \dots\dots\dots(5)$$

اذ ان:

S_e = رطوبة التربة الفعالة.

Θ_S = رطوبة التربة المشبعة ($\text{ملم}^3 / \text{ملم}^3$).

m = معامل توصيل المسامات.

ويمكن تخمين متغيرات انموج ($K_s, l, n, \alpha, \Theta_s, \Theta_r$) van Genuchten-Mualem

من معرفة نسجة التربة وبعض الصفات الفيزيائية والهيدروليكية المتعلقة بها، وباستخدام (Neural Network Prediction)، والتي تم تطويرها في مختبر الملوحة الامريكي وتعتبر مكتبة مرتبطة بفاعلية مع أنموذج Hydrus-1D.

$$-K \left(\frac{\partial h}{\partial z} + 1 \right) = q_o(t) - \frac{\partial h}{\partial z} \quad \text{at } z = 0 \text{ for } h_A \quad h \quad h_S \quad \dots \quad (8)$$

$$h(0,t) = h_A \quad \text{for} \quad h < h_A$$

h_A = أقل شحنة ضغط مسموح بها فوق سطح التربة (ملم) تحت الظروف الجوية المعتمدة. ويتم إيجاد قيمتها من تحديد إذ أن

h_5 = أقصى قيم شحنة ضغط ماء مسموح بها فوق سطح التربة (ملم) تحت الظروف الجوية المعتمدة، وقيمتها تساوي صفر أو قيمة موحلة تمثل عمق الماء فوق سطح التربة.

يتوفر أنموذج Hydrus-1D إمكانية تحديد الظروف الحدودية الابتدائية والمحيطة بالترة من الأعلى والأسفل إذ يتم تحديد الشروط الحدودية الابتدائية لسطح الترفة والذي يتعرض لظروف الغلاف الجوي وجريان السائل الذي يتأثر بشكل مباشر بالظروف الخارجية، كما يعتمد على ظروف رطوبة الترفة قرب السطح. يمكن تغيير الظروف المحيطة من حالة تأثير الجريان إلى حالة تأثير شحنة ضغط عمود الماء على سطح الترفة والعكس بالعكس [6].

المواد وطرق العمل

تم الاستعانة بدراسة حقلية [7] في منطقة الموصل بين خطى طول $43^{\circ} 16'$ و $43^{\circ} 23'$ شرقاً ودائرة عرض $36^{\circ} 22'$ و $35^{\circ} 19'$ شمالاً وعلى مستوى 233 م فوق مستوى سطح البحر، حيث تضمنت تلك الدراسة اجراء تجارب عملية لبيان تأثير فاصلة الترطيب على فوائد التبخر من سطح الترفة الخالية من الغطاء النباتي. شملت الدراسة اختيار أربع فواصل للترطيب هي 2، 4، 8، 16 يوماً للاعتماد عليها في كل تجربة. وفي هذه الدراسة تم اجراء محاكاة التبخر من سطح الترفة ولوسائل ترطيب مختلفة هي 2، 4، 8، 16 يوماً على نوعين من الترب للمنطقة الشمالية والتي تميل نسجتها الى رملية مزيجية و طينية مزيجية. والجدول (1) يوضح صفات الترب المستخدمة في الدراسة [7].

الجدول (1) صفات الترب المستخدمة في الدراسة.

نوع الترفة	الطين غم/كغم	الغرين غم/كغم	الرمل غم/كغم	الرطوبة عند السعة الحقلية ملم ³ /ملم ³	الرطوبة الابتدائية ملم ³ /ملم ³
رملية مزيجية	124	282	594	0.36	0.28
طينية مزيجية	342	274	384	0.41	0.33

تطبيق الأنماذج

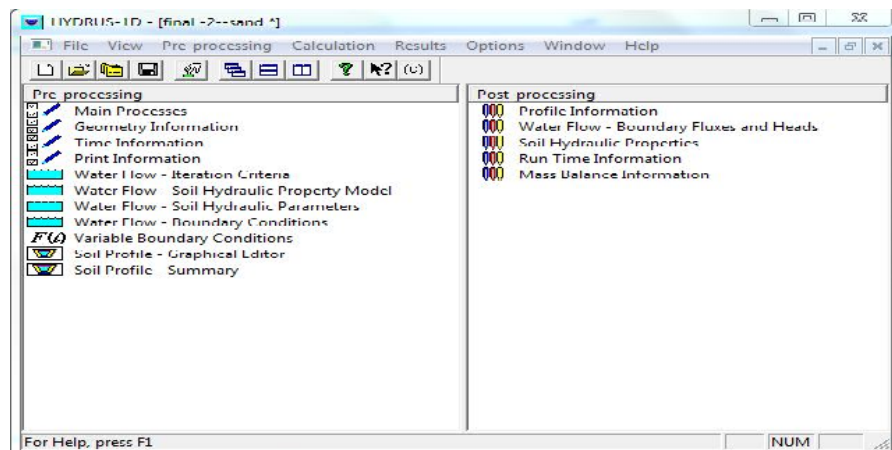
تم استخدام أنموذج Hydrus-1D لمحاكاة التبخر من سطح الترفة في نوعين من الترب مختلفة النسجة (رملية مزيجية وطينية مزيجية) وأربع فواصل ترطيب لكل ترفة هي 2، 4، 8، 16 يوماً. يعتمد البحث في محاكاة تبخر الماء من سطح الترفة على معادلة ريتشارد والتي تعتبر من أكثر المعادلات فيزيائية الأساس قبولاً حيث تستعمل لمحاكاة الجريان المسبع وغير المسبع في الاوساط المسامية [6]. بفرض إن الترفة متجانسة ومتماالة الصفات ولا يؤثر طور الهواء على حركة السائل، مع اهمال جريان الماء نتيجة الانحدار الحراري. أنموذج Hydrus-1D هو برنامج حاسوبي يعمل بثلاث مراحل:

1- مرحلة قبل المعالجة pre-processing

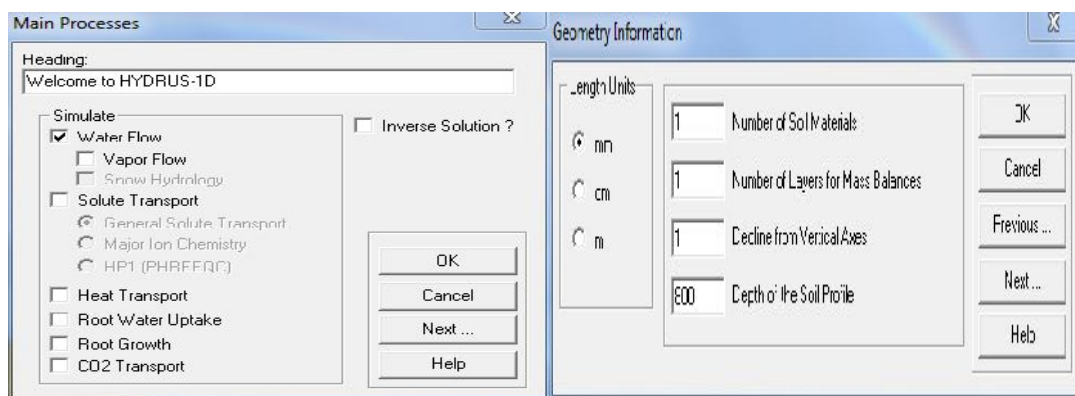
2- مرحلة الحسابات calculation

3- مرحلة بعد المعالجة Post-processing

والشكل (1) يبين نافذة البرنامج الحاسوبي الذي يتضمن المرحلة الأولى pre-processing الذي يتم فيه اختيار نوع المحاكاة المطلوبة وفي هذا البحث تم اختيار جريان الماء لمحاكاة التبخر من سطح الترفة حيث تم تحديد المعلومات الهندسية باعتبار مقد الترفة يتكون من طبقة واحدة متجانسة بعمق (800 ملم) كما في الشكل (2).

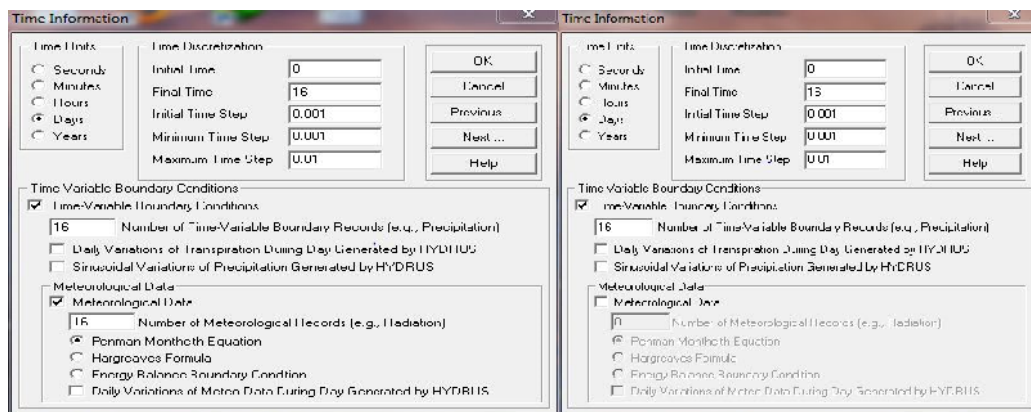


الشكل (1) يوضح نافذة فتح برنامج Hydrus-1D



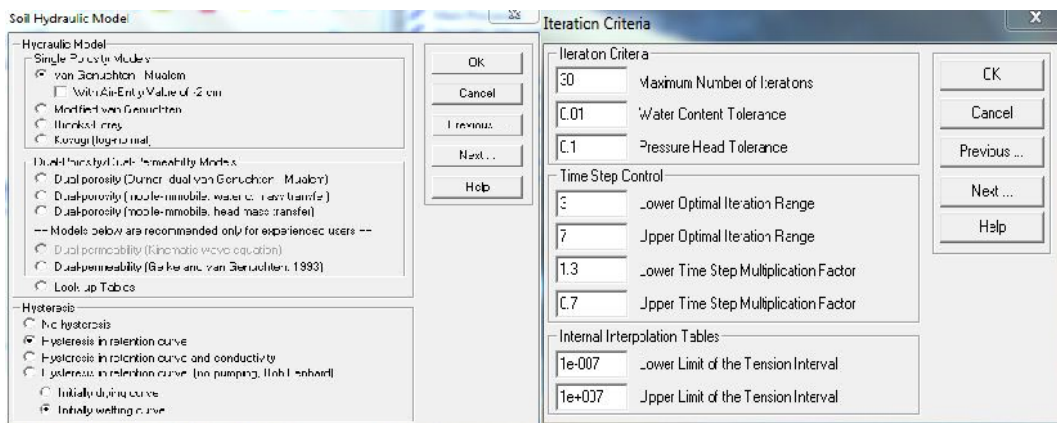
الشكل(2) اختيار نوع المحاكاة والمعلومات الهندسية لمقد التربة.

واعتماداً على فواصل الترطيب قيد الدراسة (2، 4، 8، 16 يوماً) فقد تم اختيار الزمن الاولى للمحاكاة (صفر يوم) والزمن النهائي (16 يوم) مع تحديد خطوة الزمن الابتدائي (0.001 يوم) واقل خطوة زمن 0.001 يوم واقصى خطوة زمن 0.01 يوم، بالإضافة الى تحديد فترة تأثير الظروف المناخية. والشكل (3أ) يوضح ذلك . إذ يمكن استخدام بيانات التبخر الكامن المقاييس حقلياً أو استخدام بيانات مناخية ثم حساب التبخر الكامن بطرق مختلفة محددة بالبرنامج. وقد تم تنفيذ المحاكاة لحالتين من بيانات التبخر الكامن، الأولى ببيانات التبخر اليومي من سطح الماء الحر في الإناء القياسي والمقاسة في الحقل لمدة 16 يوم، للفترة من (9-24) / 9 / 2000 للتربة الرملية المزيجية وللفترة من (20-5) / 10 / 2000 للتربة الطينية المزيجية. والثانية استخدام طريقة بنمان مونتيث لإيجاد التبخر اليومي الكامن بالاعتماد على البيانات المناخية لمنطقة الموصل ولنفس الفترة التي أجريت فيها التجارب، كما موضح في الشكل (3 ب).



الشكل (3) توضيح لبيانات الزمن وفترة تأثير الظروف المناخية.

لغرض تحديد أفضل البيانات لإجراء المحاكاة لابد من تحديد معايير التكرار التي يتم بواسطتها حل معادلة ريتشارد كما مبين في الشكل (4)، حيث يتم إعطاء دقة الحل للأنموذج وتحديد أقصى عدد محاولات تكرار، وللسسيطرة على خطوة الزمن تمأخذ المدى المثالي للنكرار في الحد الأعلى والأدنى 7 و 3 على التوالي. ولأجل الحصول على دقة الأنماذج و اختيار أفضل قيمة للتغير بالزمن Δt ، يجب أن تعطى بعض المعاملات لأعلى وأدنى امثل تكرارات. في هذه الطريقة، إذا كانت قيمة Δt التي تم الحصول عليها صغيرة سيقوم الأنماذج بتغيير Δt بضربيها في 1.3، وإذا كانت Δt كبيرة سيتم تصغيرها باستخدام 0.7 . أما لوصف الصفات الهيدروليكيه للتربة، تم اختيار أنماذج van Genuchten- Mualem مع اعتبار ظاهرة التخلف ابتداءاً منحنى الترطيب كما في الشكل (5).



الشكل(5) وصف الصفات الهيدروليكيه للتربة .

تم تقدير متغيرات أنموذج van Genuchten-Mualem والمتمثلة بالرطوبة المتبقيه (Θ_r) ، الرطوبة عند التشبع (Θ_s)، الايصالية الهيدروليكيه للتربة المشبعة (K_s) والقيم التجريبية لمعادلة ريتشارد، للتربة الرملية المزيجية اعتماداً على نسب مكونات التربة المختارة من الرمل والغرن والطين والكلافه الظاهرية، بواسطة الشبكة العصبية، باستخدام Rosetta Lite version1.1 2003 [8]. يبين الجدول (2) متغيرات انموذج Hydrus-1D كما تم تقدير تلك المتغيرات للتربة الطينية المزيجية من [8]. يبيّن الجدول (2) متغيرات انموذج van Genuchten-Mualem .

الجدول (2) متغيرات انموذج van Genuchten-Mualem

التربيه	Θ_r	Θ_s	a /ملم	n	I	K_s ملم/يوم
رملية مزيجية	0.047	0.4	0.0021	1.452	0.5	428
طينية مزيجية	0.129	0.47	0.003	1.37	0.5	105

الظروف الحدودية المحيطة

لغرض محاكاة الأنموذج، تم تحديد الظروف الحدودية العليا عند سطح التربة وهي الظروف المناخية والمتمثلة بالتبخر اليومي الكامل بالإضافة إلى عمق ماء الري اللازم لإ يصل التربة إلى السعة الحقلية في كل ترتيب وقد تم حسابه كما يلي :

$$I = (f_c - i)Z \quad \dots \dots \dots (10)$$

اذأن

I =عمق ماء الترطيب.

f_c =الرطوبة عند السعة الحقلية ،

$i=\theta_i$ =الرطوبة الابتدائية للتربة عند نسبة استنزاف 40-60%

$Z=$ عمق التربة (ملم).

اما الظروف الابتدائية لمقد التربة فهي الرطوبة عند نسبة استنزاف 40-60%.

يتم في المرحلة الثانية (calculation) حل معادلة ريتشارد باستعمال طريقة العناصر المحددة وحساب قيم الرطوبة بين حالي تكرار ناجحة كمقارنة مع حالة الدقة المسموح بها المعطاة في البرنامج شريطة ان يكون التغير بالرطوبة $\Delta\Theta$ اكبر من الدقة المعطاة وتستمر الحسابات إلى التكرار التالي وإذا كانت $\Delta\Theta$ اصغر من الدقة المعطاة يتم عمل الحسابات لخطوة الزمن التالية. يبدأ البرنامج الحسابات بأداء الأنموذج بخطوة زمن ابتدائي ثم

مقارنة القيم المستنيرة في التكرار مع الدقة المعطاة، وفي النهاية يتم ترتيب القيم المعدلة حسب أعلى وأدنى خطوة زمن محددة بالأنموذج.

أما المرحلة الثالثة فتتضمن Post-processing نتائج الأنماذج، وهي صفات مقد التربة وتغير الرطوبة ضمن مقد التربة مع الزمن، الصفات الهيدروليكيه للتربة، جريان الماء، والموازنة المائية في التربة والتي تظهر على شكل جداول ومنحنيات.

التحليل الإحصائي

تم اختبار الأنماذج بمقارنة نتائج المحاكاة للحالتين المذكورة أعلاً مع البيانات الحقلية المقاسة للتبخر اليومي من سطح التربة، وباعتماد المعايير الإحصائية الأدائية مربع معامل الارتباط R^2 من Excel، ودليل القبول والمصداقية IOA، [9] وهي كالتالي:

$$R^2 = \left\{ \frac{\sum_{i=1}^N (E_f - E_{mf})(E_h - E_{mh})}{\sqrt{\sum_{i=1}^N (E_f - E_{mf})^2 (E_h - E_{mh})^2}} \right\}^2 \quad \dots\dots\dots(11)$$

$$IOA = 1 - \frac{\sum_{i=1}^N (abs(E_f - E_{mf}) + abs(E_h - E_{mh}))^2}{\sum_{i=1}^N (abs(E_f - E_{mf}) + abs(E_h - E_{mh}))^2} \quad \dots\dots\dots(12)$$

إذ ان:
 E_f = التبخر من القياسات الحقلية (ملم).
 E_h = التبخر من أنماذج Hydrus-1D (ملم).
 E_{mf} = الوسط الحسابي لقيم التبخر من القياسات الحقلية (ملم).
 E_{mh} = الوسط الحسابي لقيم التبخر من أنماذج Hydrus-1D (ملم).
 N = عدد البيانات.

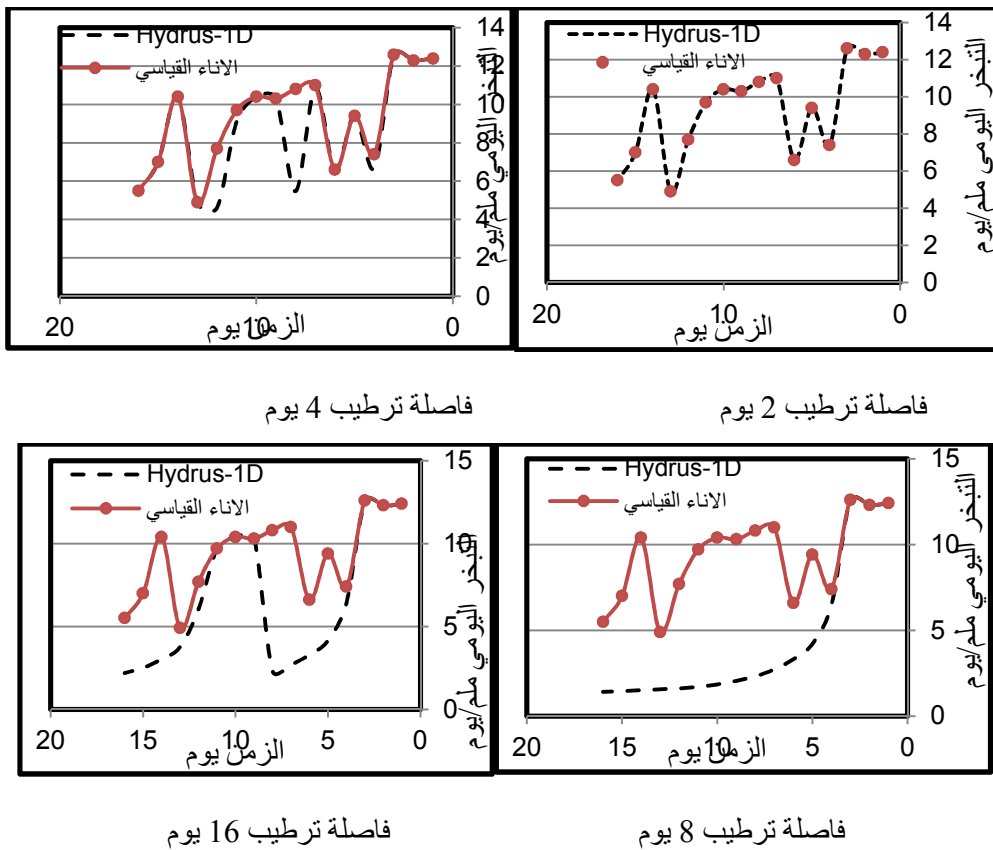
النتائج والمناقشة

تم استخدام بيانات التبخر الانائي المقاس حقلياً بواسطة اثناء التبخر (A) والبيانات المناخية لمنطقة الموصل للفترة الزمنية التي تمت فيها التجارب [7] كمدخلات لأنماذج Hydrus-1D في مرحلة قبل المعالجة pre-processing ومحددات لإجراء محاكاة لتخمين التبخر من التربة لفواصل الترطيب (2، 4، 8، 16) يوم ولكلتا النوعين من الترب المستخدمة. الجدولان (3، 4) يوضحان نتائج قيم التبخر اليومي المحسوب من أنماذج Hydrus-1D بعد اجراء عملية المحاكاة باعتماد قيم التبخر الانائي المقاس حقلياً، وقيم التبخر المحسوب على اساس معادلة الفاو-بنمان مونيت [6] التي تعتمد على البيانات المناخية لمنطقة الموصل ولنفس فترة التجارب، ولكلتا الترتيبين على التوالي.

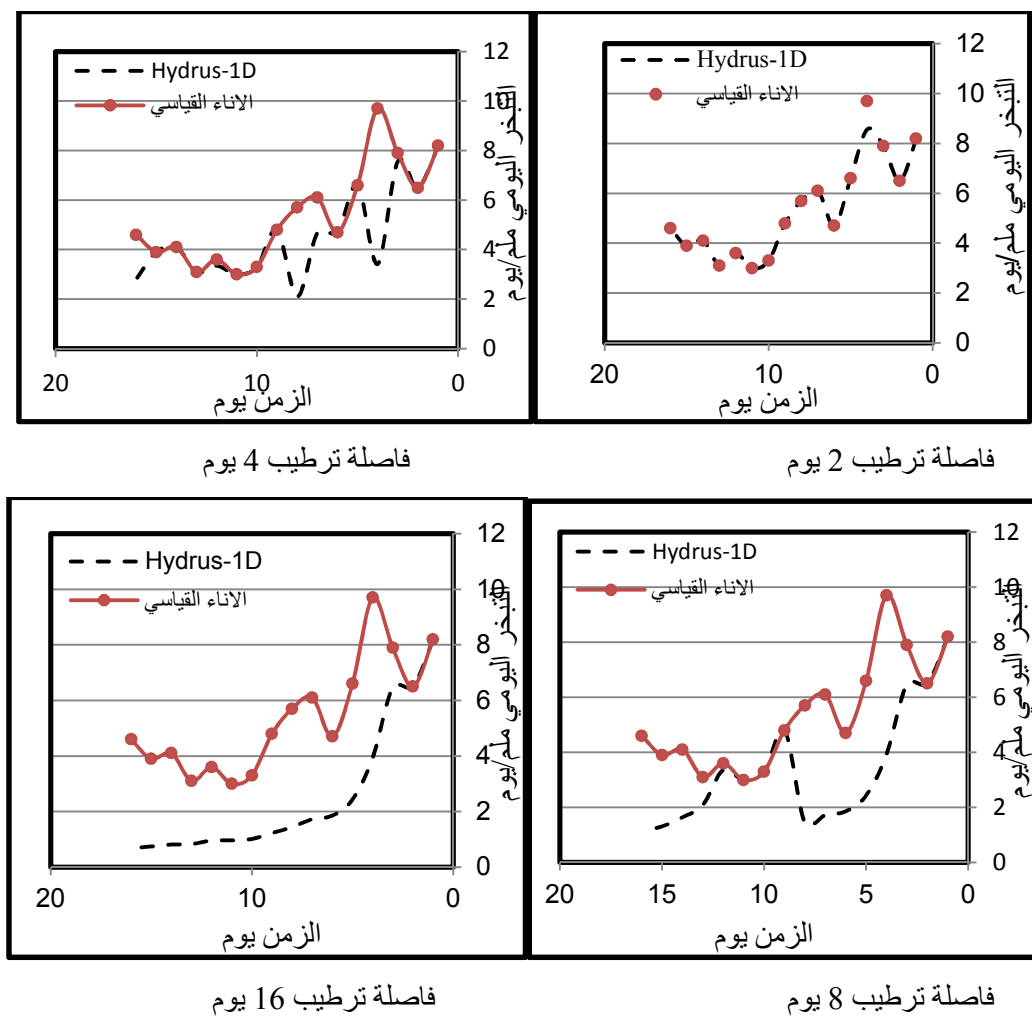
للغرض تقييم اداء أنماذج Hydrus-1D فقد تم ايجاد المعايير الاحصائية (R^2 , IOA) بين قيم التبخر المقاس فعلياً والتبخر المحسوب من أنماذج Hydrus-1D ويوضح ذلك الجدول (5)، اذ بيّنت النتائج ان المعايير المذكورة بين قيم التبخر المحسوب من مدخلات بيانات التبخر الانائي مع التبخر المقاس فعلياً، هي الافضل لجميع فواصل الترطيب وللنوعين من التربة بالمقارنة مع نفس المعايير المعتمدة على مدخلات البيانات المناخية لمدينة الموصل لحساب التبخر الكامن (طريقة الفاو-بنمان مونيت). اذ تراوحت قيم (R^2) بين (0.7-0.89) للتربة الرملية المزيجية و (0.81-0.98) للتربة الطينية المزيجية. اما معامل المصداقية (IOA) فقد تراوحت قيمه بين (0.89-0.99) لجميع فواصل الترطيب ولنوعي التربة المستخدمة لحالة استخدام بيانات التبخر الانائي القياسي كمدخلات للمحاكاة مقارنة ببيانات طريقة الفاو-بنمان مونيت، وذلك لأن إثناء التبخر القياسي قد تم وضعه في منطقة الدراسة مما أدى إلى توفر بيانات تبخر كامن أفضل من استخدام بيانات مناخية لمدينة الموصل، وليس لمنطقة الدراسة بشكل محدد، المستعملة في طريقة الفاو بنمان مونيت، وعلى ذلك يمكن التوصية باعتماد بيانات التبخر الانائي القياسي المقاس حقلياً فقط لمحاكاة التبخر من سطح التربة بواسطة أنماذج Hydrus-1D دون الحاجة الى البيانات المناخية لأي منطقة وذلك لسهولة نقل واستخدام الاناء القياسي اثناء القيام بأي تجربة.

بيان معنوية الفروقات تم اجراء Paired t-test بين قيم التبخر اليومي المحسوب باستخدام أنموذج Hydrus-1D، من مدخلات بيانات التبخر الانائي القياسي المقاس حقلياً، مع التبخر اليومي المقاس فعلياً اذ تم حساب t [10]، الموضحة قيمها في كل من الجدولين (3) و(4)، ثم مقارنتها مع قيم t باعتماد مستوى احتمالية 1% ودرجة حرية تعتمد على عدد البيانات [10]، وتعتبر الفروقات معنوية عندما تكون قيم t المحسوبة من المعادلات اكبر من تلك المعتمدة عند مستوى احتمالية 1% ودرجة حرية تعادل 15 لان عدد البيانات 16.

لتوضيح مراحل التبخر وتحديد اوقات حدوثها لكل حالة ترطيب 2 ، 4 ، 8 ، 16 يوماً وكل تربة خلال فترة الدراسة (16) يوم، فقد تم رسم العلاقة بين التبخر اليومي المحسوب من أنموذج Hydrus-1D مع التبخر من الاناء القياسي المقاس حقلياً ولوافاص الترطيب المستخدمة وللتربيتين قيد الدراسة، اذ ان مرحلة التبخر الاولى يكون فيها التبخر اليومي مساوي للتبخر من الاناء القياسي. يوضح الشكلان (6) و(7) ان فوافص الترطيب لها نفس التأثير على كلا التربتين وان اكبر تبخر حصل عند فاصلة ترطيب (2) يوم وانه مقارب للتبخر من الاناء القياسي ولفتره (16) يوم وذلك لان استعمال فاصلة ترطيب (2) يوم يؤدي الى ابقاء سطح التربة رطباً وتبقى عملية التبخر في مرحلتها الاولى ولا تتمكن من تجفيف سطح التربة والانتقال الى المرحلة الثانية، اما عند استخدام فاصلة ترطيب (4) يوم يلاحظ تطابق المنحنين فترة يومين بعد الترطيب بعدها يصبح التبخر من التربة اقل من سطح التربة اقل من الاناء القياسي وهذا يدل على انتقال عملية التبخر من المرحلة الاولى الى المرحلة الثانية. ثم تعود المرحلة الاولى، بعد اعادة الترطيب، في اليومين الخامس والسادس وال ايام التاسع والعشر والحادي عشر اذ يتساوى فيها التبخر من سطح التربة مع التبخر من الاناء القياسي. اما لفاصلة الترطيب (8) يوم فيقترب المنحنيان بعد الترطيب وتنتهي المرحلة الاولى بعد يومين حيث يقل التبخر تدريجياً بسبب انخفاض المحتوى الرطبوبي لسطح التربة وعند اعادة الترطيب يزداد التبخر ويتطابق المنحنيان في الايام التاسع والعشر والحادي عشر. اما عند فاصلة الترطيب (16) يوم فان عملية التبخر تنتقل من المرحلة الاولى الى المرحلة الثانية خلال يومين من عملية الترطيب ثم يقل التبخر اليومي فيبتعد كثيراً عن منحني التبخر اليومي القياسي وهذا يتواافق مع نتائج التجارب الحقلية [7] وتنظر هذه الحالة دلالة واضحة على أن فوافص الترطيب الطويلة تؤدي إلى تقليل فوائد التبخر من سطح التربة.



الشكل(6) مقارنة تغير التبخر اليومي من سطح التربة مع التبخر اليومي من الاناء القياسي مع الزمن لفوافص الترطيب المختلفة للتربة الرملية المزيجية.



الشكل(7) مقارنة تغير التبخر اليومي من سطح التربة مع التبخر اليومي من الاناء القياسي مع الزمن لفواصل الترطيب المختلفة للتربة الطينية المزججية.

الجداول (3) مقارنة بين قيمة التنفس اليومي المحسوب من H_{dry} - H_{wet} - H_{1D} والمقاييس حتيماً لاقول احصل ترتيب مختلف التربة الرملية المزروعة

١٦٥٤		١٦٥٨		١٦٥٩		١٦٦٤		١٦٦٧	
Hydrus-1D									
ملم	* [أ]ـ[أ]								
14.4	6.5	12.4	14.4	6.5	12.4	14.4	6.5	12.4	14.4
14.4	6.6	12.3	14.4	6.6	12.3	14.4	6.6	12.3	14.4
8.0	6.5	12.6	8.1	6.5	12.6	8.1	6.5	12.6	8.1
5.8	6.1	6.5	6.0	6.1	6.4	6.0	6.1	6.7	7.1
5.0	6.3	4.2	5.0	6.3	4.2	8.5	6.3	9.4	8.5
4.2	5.2	3.3	4.2	5.1	3.3	6.1	6.0	6.6	6.1
4.1	3.3	2.7	4.1	3.3	2.7	5.1	6.2	10.8	9.8
3.8	2.7	2.3	3.9	2.6	2.3	4.4	5.9	5.5	9.5
3.5	2.3	2.1	10.0	6.3	10.3	10.0	6.3	10.3	10.0
3.2	2.0	1.9	10.0	6.1	10.4	10.0	6.1	10.4	10.0
3.0	1.8	1.7	7.1	5.6	9.7	7.1	5.6	9.1	8.7
2.6	1.7	1.6	5.4	5.3	6.1	5.6	5.3	4.6	6.8
2.2	1.6	1.6	4.1	5.2	3.8	4.5	5.2	4.9	4.6
2.0	1.6	1.5	3.9	5.1	3.0	7.4	5.1	10.4	7.3
1.8	1.50	1.5	3.3	3.70	2.5	5.3	5.3	7.0	5.9
1.6	1.5	1.4	2.8	2.70	2.2	5.1	5.1	4.0	5.5

* التبخر من سطح التربة باستخدام Hydrus-1D باعتماد بيانات التبخر من الإناء الفيسي الموضع في الحقل.
** التبخر من سطح التربة باستخدام Hydrus-1D باعتماد بيانات متاحية لحساب التبخر الكامن بطريقة (الفلو-بنمان مونثيت).

الجدول (4) مقارنة بين قيم التبخر اليومي المحسوب من 1D وHydrus المقاس حقيقة لفواصل ترتيب مختلفة للترية الطينية المزبوجة.

نوع التربة	16 يوم			8 يوم			4 يوم			2 يوم			فاصدة التطبيق (يوم)	
	Hydrus-1D			Hydrus-1D			Hydrus-1D			Hydrus-1D				
	* [3]	* [3]	* [3]	* [3]	* [3]	* [3]	* [3]	* [3]	* [3]	* [3]	* [3]	* [3]		
8.0	4.1	8.2	8.0	4.1	8.2	8.0	4.1	8.2	8.0	4.1	8.2	8.2	1	
6.0	4.2	6.5	6.0	4.2	6.5	6.0	4.2	6.5	6.0	4.2	6.5	6.5	2	
5.6	4.0	6.5	5.6	4.0	6.5	5.5	4.0	7.6	7.1	4.0	7.9	7.9	3	
4.4	3.7	3.9	4.2	3.70	3.9	4.4	3.7	3.4	9.2	3.7	8.6	8.6	4	
2.5	3.8	2.4	2.4	3.7	2.4	6.0	3.8	6.6	6.0	3.8	6.6	6.6	5	
2.1	3.1	1.9	2.1	2.6	1.9	4.3	3.8	4.7	4.2	3.8	4.7	4.7	6	
1.8	1.9	1.7	1.9	2.0	1.7	3.8	3.8	4.7	5.6	3.8	6.1	6.1	7	
1.6	1.6	1.4	1.6	1.6	1.4	3.1	3.7	2.1	4.3	3.8	5.7	5.7	8	
1.4	1.4	1.2	4.5	3.7	4.8	4.4	3.7	4.8	4.5	3.7	4.8	4.8	9	
1.3	1.2	1.0	3.1	3.5	3.3	3.1	3.5	3.3	3.0	3.5	3.3	3.3	10	
1.2	1.0	1.0	2.2	3.7	3.0	2.1	3.7	3.0	2.8	3.7	3.0	3.0	11	
1.1	1.0	1.0	1.9	3.4	3.4	1.9	3.8	3.3	3.1	3.9	3.6	3.6	12	
1.0	0.9	0.8	1.7	2.2	2.1	2.7	3.8	3.1	2.7	3.8	3.1	3.1	13	
0.7	0.8	0.8	1.5	1.6	1.6	3.0	3.5	4.1	3.0	3.5	4.1	4.1	14	
0.6	0.8	0.7	1.3	1.4	1.3	2.7	3.8	3.9	3.3	3.8	3.9	3.9	15	
0.5	0.7	0.7	1.1	1.2	1.1	2.4	3.3	3.0	3.4	3.5	4.6	4.6	16	
$t=0.02$			$t=2.2$			$t=2.7$			$t=4.4$			$t=2.95$ at 1% p		
$t=0.02$			$t=2.2$			$t=2.7$			$t=4.4$			$t=2.95$ at 1% p		
$t=0.02$			$t=2.2$			$t=2.7$			$t=4.4$			$t=2.95$ at 1% p		

الجدول (5) نتائج المعايير الأدائية والإحصائية للتبخر من البيانات الحقلية.

طريقة الفاو - بنمان مونيت		تبخر من الإناء القياسي		فاصدة الترطيب (يوم)	التربة
IOA	R ²	IOA	R ²		
0.96	0.89	0.96	0.89	2	رمليه مزيجية
0.55	0.45	0.89	0.7	4	
0.67	0.56	0.96	0.85	8	
0.74	0.64	0.966	0.87	16	
-0.01	0.30	0.97	0.95	2	طينية مزيجية
0.3	0.42	0.92	0.81	4	
0.78	0.59	0.98	0.95	8	
0.87	0.77	0.99	0.98	16	

الاستنتاجات والتوصيات

اظهرت نتائج الدراسة انه هناك امكانية كبيرة في اعتماد بيانات التبخر الانائي القياسي المقاس حقليا فقط كمدخلات الى انموذج Hydrus-1D لمحاكاة التبخر من سطح التربة، دون الحاجة الى البيانات المناخية الاخرى وكذلك التجارب الحقلية لقياس التبخر من سطح التربة، حيث يعطي ذلك توفرها بالجهد والوقت في انجاز الدراسات في اي منطقة لسهولة نقل واستخدام الاناء القياسي وجمع المعلومات اثناء وقت الدراسة. كما اظهرت النتائج ان محاكاة التبخر من سطح التربة لفواصل الترطيب القليلة اعطت نتائج اعلى من الفواصل الكبيرة والتي توافقت مع النتائج التجريبية [7].

المصادر

- 1-Skaggs, T.H, Van Genuchten, M.TH, Shouse, P.J and Poss, J.A.(2006). " acroscopic approaches to root water uptake as a function of water and salinity stress." Agricultural water management . 86, 140-149.
- 2- Jiangbo Han and Zhifang Zhou. (2013). " Dynamics of Soil Water Evaporation during Soil Drying: Laboratory Experiment and Numerical Analysis". The Scientific World Journal Volume 2013 (2013), Article ID 240280, 10 pages.<http://dx.doi.org/10.1155/2013/240280>.
- 3- Jimenez-Martinez , J , Skaggs, T.H, Van Genuchten, M.TH. and Candela, L .(2009) ."A root zone modeling approach to estimating groundwater recharge from irrigated areas". Journal of hydrology 367, 138-149.
- 4- Wegehenkel, M.(2009). "The estimation of soil water fluxes using lysimeter data". EGU general assembly 2009, held 19-24 April, 2009 in vienna.
- 5- Soylu, M.E., Estanbulluoglu, E., Linters, J.D., and Wang, T.(2011)." Quantifying the impact of groundwater depth on evapotranspiration in a semi-arid grassland region". Hydrol. earth syst. sci., 15, 787–806.
- 6- Simunek, J. ,Sejna, M. , Saito, H., Sakai, M and van Genuchten, M. Th.(2009)." The HYDRUS-1D Software Package for Simulating the One-Dimensional Movement of Water,

Heat, and Multiple Solutes in Variably-Saturated Media. Version 4.08. Department of environmental Sciences University of California Riverside , USA , 296 pp.

7- اسوفي، سنان عدنان سليمان يوسف. (2001). "تأثير فاصلة الإرواء في فوائد التبخر لمياه الري". رسالة ماجستير ، جامعة الموصل، كلية الهندسة .

8- Leij, Feike J., Alves, William J., Van Genetncten, Martinus Th. and Williams ,Joseph R.(1966). "The UNSODA Unsaturated Soil Hydraulic Database, User's Manual Version 1.0, EPA/600/R-96/095. August1996.

9- Helmers, Qi, Z., M, and Singh, R. 2006. "Evaluating a drainage model using soil hydraulic parameters derived from various methods". ASAE Meeting Paper No. 062318. St. Joseph, Mich. :ASAE.

10-Ractliffe, J.F. (1972)."Element of Mathematical Statistics. Oxford Mathematical Handbook. Oxford University Press.Pp224.

تم اجراء البحث في كلية الهندسة = جامعة الموصل